

تأثیر تنش کم‌آبی بر صفات فیزیولوژیک و بیوشیمیایی ژنوتیپ‌های *(Beta vulgaris L.)* چغندر قند

Effects of water deficit stress on physiological and biochemical traits of sugar beet genotypes (*Beta vulgaris L.*)

شاھپور علائی مقدم^۱، محمدعلی اسماعیلی^۲، اباذر رجبی^۳ و حمید نجفی^۲

تاریخ دریافت: ۹۶/۰۳/۱۱؛ تاریخ پذیرش: ۹۷/۱۰/۲۰

ش. علائی مقدم، م.ع. اسماعیلی، ا. رجبی و ح. نجفی. ۱۳۹۷. تأثیر تنش کم‌آبی بر صفات فیزیولوژیک و بیوشیمیایی ژنوتیپ‌های چغندر قند (*Beta vulgaris L.*). چغندر قند، ۳۴(۲): ۱۳۱-۱۴۶. DOI: 10.22092/jsb.2019.109072.1139.

چکیده

به منظور ارزیابی جنبه‌های بیوشیمیایی و فیزیولوژیکی تنش کم‌آبی بروشش ژنوتیپ چغندر قند، آزمایشی به صورت فاکتوریل در قالب طرح کاملاً تصادفی با هشت تکرار در سال ۱۳۹۴ در گلخانه ستاد مؤسسه تحقیقات اصلاح و تهیه بذر چغندر قند انجام گرفت. آبیاری شامل دو سطح (تیمار شاهدو تنش کم‌آبی) بود. از زمان کشت تا استقرار کامل گیاه، آبیاری برای هر دو تیمار مشابه بود و از این مرحله به بعد، در شرایط تنش بر اساس شروع علائم تنش انجام شد. نتایج نشان داد که تنش کم‌آبی موجب کاهش معنی دار میزان آب نسبی برگ، وزن خشک ریشه و کارایی مصرف آب و افزایش معنی دار وزن ویژه برگ، نشت الکتروولیت، میزان کلروفیل برگ (قرائت کلروفیل متر)، میزان پرولین و بتائین گردید. اثر ژنوتیپ برای میزان کلروفیل، پرولین، وزن خشک ریشه و کارایی مصرف آب معنی دار گردید. اثر متقابل آبیاری و ژنوتیپ فقط برای میزان پرولین و وزن خشک ریشه معنی دار شد. نشت الکتروولیت به عنوان معیاری از پایداری غشای سلولی از ۵۴/۵۸ در شرایط آبیاری نرمال به ۹۴/۲۱ میکروزیمنس بر متر در تنش افزایش یافت. بیشترین میزان کلروفیل برگ در رقم IR7 و کمترین میزان آن در ژنوتیپ PB13-S2-52.HSF-977 مشاهده گردید. در شرایط تنش، بیشترین میزان پرولین در ژنوتیپ PB13-S2-52.HSF-987 و کمترین میزان آن در ژنوتیپ PB13-S2-37.153.80.HSF-1007 (PB13-S2-37.153.80.HSF-1007) و رقم IR7 بود. به نظر می‌رسد برای غربال اولیه ژنوتیپ‌ها از نظر تحمل به تنش کم‌آبی می‌توان از وزن خشک ریشه، کارایی مصرف آب براساس وزن خشک ریشه و میزان کلروفیل برگ و بتائین استفاده کرد.

واژه‌های کلیدی: بتائین، پرولین، تنش، چغندر قند، ژنوتیپ

۱-دانشجوی سابق دکترای زراعت دانشگاه علوم کشاورزی و منابع طبیعی ساری، ساری، ایران.

۲-دانشیار دانشکده علوم زراعی دانشگاه علوم کشاورزی و منابع طبیعی ساری، ساری، ایران.

۳-دانشیار مؤسسه تحقیقات اصلاح و تهیه بذر چغندر قند، سازمان تحقیقات، آموزش و ترویج کشاورزی، کرج، ایران.**- نویسنده مسئول a.rajabি@areeo.ac.ir

مقدمه

(Ilikaei *et al.* 2012; Hashemi 2014). در صورتی که به توان با بهره‌گیری از برنامه‌های اصلاحی، ارقامی از چگندرقدن را که از تحمل بیشتری نسبت به خشکی در مراحل رشد برخوردار باشند، شناسایی و معرفی نمود، ضمن صرف‌جویی در مصرف آب می‌توان به توسعه و بهبود کشاورزی در کشور امیدوار بود چرا که یکی از گیاهان زراعی مهم متتحمل به کم‌آبی، چگندرقدن می‌باشد و شکر به عنوان یکی از منابع تأمین انرژی در سبد کالاهای اساسی کشور جای دارد (Taleghani *et al.* 2014).

هنگامی که گیاهان در معرض تنش‌های مختلف قرار می‌گیرند، برخی از گونه‌های فعال اکسیژن (Reactive oxygen species) از قبیل رادیکال سوپراکسید، هیدروژن پراکسید و رادیکال هیدروکسید تولید می‌گردند. این گونه‌های فعال ممکن است شروع به فرایندهای تخربی نمایند. مکانیسم‌های سمیت‌زدایی گونه‌های فعال اکسیژن در تمام گیاهان وجود دارد و شامل فعل‌سازی سیستم دفاع آنزیمی می‌باشد (Meloni *et al.* 2003). فعالیت آنزیم‌های آنتی-اکسیدانت و مقادیر افزایش یافته‌ی آنها در شرایط خشکی در بین گونه‌های گیاهی بسیار متغیر بوده و حتی در بین دو رقم شناخته شده‌ی یک گونه نیز تفاوت بسیاری وجود دارد. با این حال، میزان زیادی از خسارت به گیاهان در اثر تنش خشکی به آسیب اکسیداتیو در سطح سلولی گیاه بستگی دارد (Farooq *et al.* 2009). اگر تفاوت زیادی بین تولید گونه‌های فعال اکسیژن و دفاع آنتی‌اکسیدانتی در هر سلول وجود داشته باشد، تنش و خسارت اکسیداتیو رخ می‌دهد. از این رو به منظور مقابله با آسیب اکسیداتیو به وجود آمده در شرایط تنش خشکی، مقابله با آیستی گیاهان دارای سیستم آنتی‌اکسیدانی کارآمدی باشند. با توجه به گیاه زراعی، دوره‌ی تنش خشکی و نوع آنتی‌اکسیدان، آنتی‌اکسیدان‌ها ممکن است افزایش یا کاهش یافته و یا بقای آنها غیرقابل تغییر باشد (Sayfzadeh and Rashidi 2011).

تنش کم‌آبی مهمترین عامل محدود کننده تولید در مناطق کشاورزی ایران و جهان به شمار می‌رود. ایران با قرار گرفتن در عرض جغرافیایی ۲۵ تا ۳۸ درجه جزء مناطق خشک و نیمه‌خشک به حساب می‌آید (Peymaneh *et al.* 2013). از این رو کاهش منابع آب، ذخیره و استفاده بهینه از آب را برای زمان خشکسالی ضروری می‌کند (Zarei *et al.* 2013). با توجه به وضعیت بحران آب در ایران و مصرف عمدۀ آب در بخش کشاورزی، تجدید نظر در نوع کشت گیاهان و استفاده از روش‌های نوین آبیاری ضروری به نظر می‌رسد. از این رو، کم‌آبیاری یک راهکار بهینه برای تولید محصولات تحت شرایط کمبود آب است. کم‌آبیاری اگرچه موجب کاهش عملکرد می‌گردد، اما کاهش عملکرد بستگی به زمان اعمال تنش کم‌آبیاری دارد و همچنین گیاهان زراعی مختلف ممکن است واکنش‌های متفاوتی در مقابل کم‌آبیاری از خود نشان دهند (Ilikaei *et al.* 2012). از سویی، جایگزینی گیاهان دارای نیاز آبی پایین و کم توقع به جای گیاهان دارای نیاز آبی بالا می‌تواند یکی از استراتژی‌های مهم در زمینه‌ی تولید محصولات کشاورزی تحت شرایط تنش خشکی باشد (Masoumi *et al.* 2012).

بهبود عملکرد گیاهان زراعی تحت شرایط تنش خشکی یکی از مهمترین اهداف اصلاح گیاهان است (Cattivelli *et al.* 2008). تحمل به خشکی معمولاً با عملکرد گیاه تحت تنش کم‌آبی مورد ارزیابی قرار می‌گیرد اما به علت تأثیرپذیری سایر صفات در شرایط تنش، این صفت به تنهایی نمی‌تواند نشان‌دهنده تحمل به خشکی ژنوتیپ‌ها باشد. بنابراین، بهتر است در برنامه‌های اصلاحی، صفات تحمل به خشکی ژنوتیپ‌ها شناسایی گردیده و هدایت برنامه‌ها براساس عملکرد و سایر صفات مهم فیزیولوژیکی و بیوشیمیایی انجام پذیرد. براین اساس، بررسی این ویژگی‌ها در شرایط اعمال تنش

مواد و روش‌ها

مشخصات محل اجرا و تیمارهای آزمایش

به منظور ارزیابی دقیق‌تر تأثیر تنش کم‌آبی بر میزان فعالیت آنزیم‌ها و آنتی‌اکسیدانت‌ها و نقش آنها در تعیین میزان تحمل به تنش کم‌آبی ژنتیپ‌های مختلف چندرقند، آزمایشی به صورت فاکتوریل با طرح پایه کاملاً تصادفی در هشت تکرار در گلخانه ستاد مؤسسه تحقیقات اصلاح و تهیه بذر چندرقند، کرج در سال ۱۳۹۴ اجرا شد. ژنتیپ‌ها شامل پنج فامیل نیمه‌خواهری دیپلوئید (فامیل‌هایی که دارای یک والد مشترک هستند) و یک رقم متتحمل خارجی (IR7) بود (جدول ۱). سطوح آبیاری نیز شامل دو سطح آبیاری نرمال و تنش کم‌آبی بود که از طریق توزین روزانه گلدان‌ها به منظور حفظ رطوبت گلدان‌های بدون تنش در حد ظرفیت زراعی در طول دوره رشد، و آبیاری تا زمان شروع علائم تنش (پژمردگی و لوله‌ای شدن برگ‌ها) برای گلدان‌های تحت تیمار تنش اعمال گردید. آبیاری از زمان کشت تا استقرار کامل گیاه (یک ماه بعداز کاشت) برای هر دو تیمار مشابه بود و از این مرحله به بعد بر اساس شروع علائم تنش انجام شد.

علاوه بر تغییرات بیوشیمیایی رخ داده در گیاهان در اثر تنش خشکی، گیاهان از طریق تغییرات مورفو‌لوزیکی، فیزیولوزیکی و متابولیکی در تمام اندام‌های خود به تنش پاسخ می‌دهند. چنین مکانیسم‌هایی دامنه وسیعی از سطح سلولی تا واکنش کلی گیاه را شامل می‌شود. در مقیاس سلولی، گیاه آثار مضر تنش را با افزایش متابولیسم و تنظیم پتانسیل اسمزی از طریق تجمع مواد آلی و معدنی در سلول‌های خود کاهش می‌دهد و فشار تورژسانس سلول خود را منظم می‌کند. پتانسیل کل آب گیاه در طی دوره تنش خشکی ملایم نیز توسط تنظیم اسمزی حفظ می‌شود. در این روش، گیاه از طریق جذب یون‌های معدنی از محیط خارجی مانند افزایش میزان تجمع پتانسیم در اندام‌های هوایی و یا از طریق سنتز زیاد مواد حل‌شونده سازگار که به عنوان اسмолیت عمل می‌کنند، تنظیم اسمزی را انجام می‌دهند. اغلب آمینواسیدها مثل پرولین ممکن است نقش محافظت‌کننده برای تیلاکوتیوئیدهای کلروپلاست و دیگر سیستم‌های غشایی تحت شرایط تنش داشته باشند. محافظت کننده‌های اسمزی نظیر گلایسین-بتائین، پرولین و قندهای محلول بیشتر به سیتوپلاسم محدود می‌شوند و تقریباً در واکوئل حضور ندارند (Layegh Khodyeki *et al.* 2010).

پژوهش حاضر با هدف بررسی اثرات تنش کم‌آبی بر برخی صفات فیزیولوزیکی و بیوشیمیایی ژنتیپ‌های چندرقند در شرایط گلخانه انجام گردید.

جدول ۱ مشخصات ژنتیپ‌های مورد استفاده در آزمایش

شماره	ژنتیپ	نام اختصاری ژنتیپ	سطح پلوئیدی	ژرمیته	منشاء
۱	IR7 (Tolerant check)	IR7 (Tolerant check)	دیپلوئید	منژرم	آلمان
۲	SB13-S2-151.HSF – 903	HSF – 903	دیپلوئید	مولتی‌ژرم	ایران
۳	SB13-S2-37.153.80.HSF–1007	HSF–1007	دیپلوئید	مولتی‌ژرم	ایران
۴	SB13-S2-37.153.80.HSF–1014	HSF–1014	دیپلوئید	مولتی‌ژرم	ایران
۵	SB13-S2-52.HSF – 977	HSF – 977	دیپلوئید	مولتی‌ژرم	ایران
۶	SB13-S2-52.HSF – 987	HSF – 987	دیپلوئید	مولتی‌ژرم	ایران

وزن ویژه برگ

وزن ویژه برگ (وزن واحد سطح برگ) نیز در همان سه عدد برگی که برای اندازه‌گیری میزان کلروفیل برگ مورد استفاده قرار گرفت، اندازه‌گیری شد. ابتدا مجموع وزن تر سه برگ هر کرت با ترازو تعیین و جمع مساحت آنها با دستگاه سطح برگسنج (مدل Delta T, Cambridge, UK) بر حسب گرم بر سانتی متر مربع اندازه‌گیری شد. سپس برگ‌های هر کرت را داخل پاکت قرار داده و در آون در دمای ۸۵ درجه سانتی‌گراد به مدت ۴۸ ساعت خشک گردید. وزن خشک برگ‌ها با ترازوی ۰/۰۰۱ بر حسب گرم اندازه‌گیری شد. از تقسیم وزن خشک برگ بر مساحت برگ، وزن ویژه برگ بر (Rajabi *et al.* 2013)

میزان آب نسبی برگ

به منظور اندازه‌گیری میزان آب نسبی برگ، نمونه‌گیری از برگ در سه بوته از هر گلدان در دو تیمار نرمال و تنفس صورت گرفت. ابتدا ۱۲ قرص تقریباً به قطر دو سانتی‌متر از هر برگ تهیه و توزین گردید (وزن تر). سپس قرص برگ‌ها را در داخل یک بشر قرار داده و به اندازه کافی آب مقطر ریخته و به مدت چهار ساعت در دمای چهار درجه سانتی‌گراد در تاریکی قرار داده شد. بعد از این مرحله، قرص برگ‌ها از بشر خارج و جهت آبگیری جزئی در داخل آبکش قرار داده شد و بعد از آن توزین گردید (وزن آماس شده). سپس جهت تعیین وزن خشک، نمونه‌ها داخل آون در دمای ۸۰ درجه سانتی‌گراد به مدت ۲۴ ساعت قرار داده و بعد از آن توزین گردید. میزان آب نسبی برگ از طریق رابطه (۱) محاسبه شد (Ober *et al.* 2005)

آزمایش در ۲۵ بهمن ۱۳۹۳ شروع و در خردادماه سال ۱۳۹۴ پایان یافت. زمان اعمال تنفس ۲۱ فروردین ۱۳۹۴ (۵۰ روز بعد از کاشت) بود. در هر گلدان با ظرفیت هشت کیلوگرم با ترکیب ۵۰ درصد رس و ۵۰ درصد کمپوست، پنج عدد بذر خرد عfonی شده با قارچ‌کش مورد کشت قرار گرفت. گلدان‌ها به طور روزانه توزین گردید تا رطوبت آنها در تیمار شاهد در کل دوره رشد در حد ظرفیت زراعی باشد. به منظور اعمال تنفس نیز گیاهان تا زمان شروع عالمی پژمردگی مورد آبیاری قرار نگرفتند. صفات مورد اندازه‌گیری شامل میزان آب نسبی برگ، وزن ویژه برگ، میزان کلروفیل برگ، نشت الکتروولیت، پرولین، گلایسین- بتائین، پراکسید هیدروژن، مالون دی‌آلدئید، سوبراکسید دیسموتاز، وزن خشک ریشه و کارایی مصرف آب بر اساس وزن خشک ریشه بود. اندازه‌گیری دو صفت اخیر در زمان برداشت (۶ خرداد) و نمونه‌برداری برای اندازه‌گیری مابقی صفات قبل از برداشت (۳۱ فروردین) انجام شد.

کلروفیل برگ (قرائت SPAD)

برای اندازه‌گیری مقدار کلروفیل برگ (قرائت کلروفیل متر) از دستگاه کلروفیل متر دستی SPAD (مدل Minolta, Japan) استفاده شد. این صفت در سه برگ توسعه یافته (برگ دوازدهم از مرکز به سمت بیرون) از سه بوته در هر گلدان و در نقطه میانی هر برگ در دو تیمار آبیاری نرمال و تنفس اندازه‌گیری شد (Ober and Luterbacher 2002). نتایج حاصل از اندازه‌گیری کلروفیل به روش SPAD می‌تواند با برآورد مقدار کلروفیل به روش عصاره‌گیری مرتبط باشد به طوری که بین نتایج قرائت SPAD و تعیین کلروفیل به روش عصاره‌گیری همبستگی مثبت و معنی‌دار ($R^2=0.95$) گزارش شده است (Yadava 1989).

گلاسین- بتایین

استخراج گلاسین بتایین در ریشه خشک شده چندرقند به روش شاو و همکاران (Shaw *et al.* 2002) انجام گردید. بدین ترتیب که ۰/۵ گرم از بافت خشک شده آسیاب شده با ۲۰ میلی لیتر آب مقطور به مدت ۴۸ ساعت در دمای ۲۵ درجه سانتی گراد شیکر شد. سپس نمونه ها از صافی رد گردید. نمونه ذوب شده با اسید سولفوریک دو نرمال به نسبت ۱:۱ مخلوط شد و ۰/۵ میلی لیتر از ترکیب به دست آمده به مدت یک ساعت در حمام بخ قرار گرفت و ۰/۲ میلی لیتر یدید پتابسیم به آن اضافه شد و ورتكس گردید. نمونه های حاصل در دمای ۴ درجه سانتی گراد به مدت ۱۶ ساعت نگهداری و سپس در جدا کردن مایع رویی، رسوب با ۹ میلی لیتر ۱ و ۲ دی کلرواتان مخلوط و ورتكس شد. پس از ۲/۵- ۲ ساعت، گلاسین بتایین استخراج شده قابل تشخیص شد. با کمک دستگاه اسپکتروفوتومتر و در طول موج ۳۶۵ نانومتر، مقدار گلاسین بتایین استخراج شده اندازه گیری شد.

پراکسید هیدروژن

برای اندازه گیری هیدروژن پراکسید به حدود ۰/۵ گرم از نمونه پودر شده برگ در نیتروژن مایع مقدار ۵ میلی لیتر تری کلرو استیک اسید ۱/۰ درصد اضافه شد. سپس نمونه هموژنیزه شده به مدت ۳۰ دقیقه در دور ۱۰۰۰۰ rpm سانتریفیوژ شد. به یک میلی لیتر از محلول رویی سانتریفیوژ شده، یک میلی لیتر از محلول بافر فسفات پتابسیم (pH=7) و ۲ میلی لیتر بافر یدید پتابسیم یک مolar اضافه گردید. نمونه های استاندارد نیز به همین طریق تهیه و میزان جذب با استفاده از دستگاه اسپکتروفوتومتر در طول موج ۳۹۰ نانومتر اندازه گیری و مقدار غلظت هیدروژن پراکسید برگ های چندرقند بر اساس منحنی استاندارد بدست آمد (Loreto and Velikova 2001).

$$\text{وزن خشک برگ - وزن تر برگ} = \text{میزان آب نسبی برگ} \quad (1)$$

$$100 \times \{\text{وزن خشک برگ - وزن آمس شده برگ}\}$$

پرولین

میزان پرولین برگی با روش تعییر یافته بیتس و همکاران (Bates *et al.* 1973) تعیین گردید. مقدار ۰/۵ گرم نمونه برگی که پس از نمونه گیری در کاغذ آلومینیومی پیچیده و درون نیتروژن مایع قرار گرفته و در فریزر -۸۰- نگهداری شده بود، درون هاون ساییده و با ۱۰ میلی لیتر اسید سولفوسالیسیلیک (۳ درصد) هموژنیزه شد. محلول های هموژن در دمای چهار درجه سانتی گراد با دور ۵۰۰۰ rpm و به مدت ۲۰ دقیقه توسط سانتریفیوژ یخچال دار (مدل KUBOTA 6900, Japan) سانتریفیوژ شد و سپس جهت صاف کردن نمونه سانتریفیوژ شده از کاغذ صافی و اتمن شماره دو استفاده گردید. به حدود ۲ میلی لیتر از سوپرناتانت حاصل ۲ میلی لیتر گلاسیال استیک اسید و ۲ میلی لیتر معرف نین هیدرین اضافه شد. مخلوط واکنش در دمای ۱۰۰ درجه سانتی گراد (حمام آب ۳۰ گرم) به مدت یک ساعت جوشانده و بلا فاصله به مدت ۳۰ دقیقه در ظرف بخ قرار داده شد و سپس ۴ میلی لیتر تولوئن به آن اضافه و به مدت ۲۰ ثانیه ورتكس گردید. در خلال اختلاط، کروموفر محتوی تولوئن جدا شد و جذب در ۵۲۰ نانومتر در اسپکتروفوتومتر در مقایسه با شاهد محتوی تولوئن ثبت گردید. غلظت پرولین با استفاده از رسم منحنی استاندارد تعیین شد. برای صفر کردن دستگاه اسپکتروفوتومتر از نمونه شاهد که حاوی تمام مواد غیر از نمونه برگی بود استفاده شد و با کمک استانداردهای پرولین که به همان روش تهیه می شوند، منحنی استاندارد به دست آمد. در نهایت، مقدار پرولین برگی بر اساس درجه رقت و وزن نمونه مورد آزمایش بر اساس میکروگرم بر گرم وزن تر نمونه محاسبه شد.

حذف منبع نوری به اتمام رسید. فرآورده واکنش با جذب در طول موج ۵۶۰ نانومتر توسط اسپکتروفوتومتر قرائت گردید. حجم مواد شناور مشابه با ۵۰ درصد واکنش ابتدایی برابر با ۱ واحد آنژیم طراحی گردید (Shaw *et al.* 2002).

نشت الکترولیت

برای اندازه‌گیری نشت الکترولیت، ۱۰ عدد قرص از هر برگ درون ظرف شیشه‌ای درب دار حاوی ۱۵ میلی لیتر محلول مانیول با فشار اسمزی ۲-۲ بار قرار داده و به مدت ۲۴ ساعت در آزمایشگاه در دمای ۲۰ درجه سانتی‌گراد نگهداری شده و سپس هدایت الکتریکی (EC) محلول نمونه با EC متر اندازه‌گیری گردید (Shiferaw and Baker 1996).

وزن خشک و کارایی مصرف آب

در زمان برداشت، اندام هوایی و ریشه به طور جداگانه برداشت شد. ابتدا وزن تر و سپس وزن خشک اندام هوایی و ریشه در آون در دمای ۷۵ درجه سانتی‌گراد به مدت ۴۸ ساعت اندازه‌گیری شد. از تقسیم مقدار ماده خشک ریشه یا اندام هوایی بر مقدار آب مصرفی در طول دوره رشد، کارایی مصرف آب بر حسب گرم بر کیلوگرم محاسبه گردید.

برای تجزیه واریانس و مقایسه میانگین داده‌ها از نرم‌افزارهای SAS و SPSS و برای رسم نمودارها از نرم‌افزار Excel استفاده شد. مقایسه میانگین‌ها با استفاده از روش حداقل اختلاف معنی‌دار (LSD) در سطح احتمال پنج درصد انجام شد.

نتایج و بحث

بر اساس نتایج حاصل از اندازه‌گیری صفات ژنوتیپ‌های چندرقند (جدول ۲)، اثر سطوح آبیاری بر همه صفات مورد مطالعه به جز پراکسید هیدروژن، مالون دی‌آلدئید و سوپراکسید دیسموتاز معنی‌داری گردید. اثر ژنوتیپ تنها بر مقدار کلروفیل برگ (قرائت کلروفیل متر)، پرولین، وزن خشک

مالون دی‌آلدئید

جهت اندازه‌گیری مالون دی‌آلدئید به یک میلی‌لیتر از محلول هموژنیزه شده در روش پراکسید هیدروژن یک میلی‌لیتر محلول ۰/۵ درصد وزنی حجمی تیوبارتیتوریک اسید اضافه گردید نمونه حاصل در حمام آب داغ در درجه حرارت ۹۵ درجه سانتی‌گراد به مدت ۲۰ دقیقه قرار داده شد. به منظور توقف واکنش، ظرف محتوی محلول به سرعت به مدت ۳۰ دقیقه در درون حمام یخ قرار گرفت. مخلوط سرد شده با دور ۱۰۰۰ rpm به مدت ۱۰ دقیقه در دمای ۴ درجه سانتی‌گراد سانتریفیوژ شد. میزان جذب مخلوط به وسیله دستگاه اسپکتروفوتومتر در دو طول موج ۵۳۲ و ۶۰۰ نانومتر اندازه‌گیری گردید (جذب در طول موج دوم غیرخاص برای مالون دی‌آلدئید است که باید از جذب در طول موج اول کم شود و در محاسبه مقدار مالون دی‌آلدئید ضریب خاموشی برابر ۱۵۵ میلی مولار بر سانتی‌متر در نظر گرفته شد) (Stewart *et al.* 1983). مقدار غلظت بر اساس مول در لیتر از تقسیم میزان جذب بر ضریب خاموشی به دست آمد (Ojani *et al.* 2012).

سوپراکسید دیسموتاز

فعالیت آنژیم سوپراکسید دیسموتاز بر اساس مقدار توانایی آن در جلوگیری از کاهش واکنش فتوشیمیایی نیتروبلوترازوکسیم مورد ارزیابی قرار گرفت. نیم گرم از نمونه‌های برگ در ۵ میلی‌لیتر بافر فسفات ۵۰ میلی‌مول (pH=۷) که حاوی یک میلی‌مول تربیتون ۰/۵ درصد (w/w)، یک میلی‌مول پلی‌وینیل پلی‌پیرولیدون (PVPP) ۲ درصد (w/w) و یک میلی‌مول آسکوربیک اسید بود، همگن گردید. در سنthes اسپکتروفوتومتری، یک میلی‌مول از مخلوط واکنش محتوی ۵۰ میلی‌مول بافر فسفات (pH=۷/۵)، ۰/۱ میلی‌مول EDTA، ۱۳ میلی‌مول متیونین، ۷۵ میکرومول NBT، ۲ میکرومول ریبو فلاوین و ۵۰ میکرومول عصاره گیاهی استفاده شد. ریبو فلاوین در انتهای اضافه گردید و واکنش با قرار گیری در لوله‌های تحت شرایط نور فلورسنت سفید آغاز گردید. واکنش بعد از ۱۰ دقیقه توسط

(Ambika 2006، ذرت (Moussa 2009) و سورگوم (Iqbal 2009) بهره گرفته شده است. در بررسی اثر تنفس کشی بر ژنتیپ‌های مختلف نخود نیز مشاهده گردید که با افزایش شدت تنفس خشکی، به طور معنی‌داری بر میزان نشت الکتروولیت افزوده شد (Zare Mehrjerdi 2012). بیات و همکاران (Baiat *et al.* 2011) با بررسی اثر تنفس خشکی بر گیاه خیار گزارش کردند که میزان نشت یونی تحت تأثیر تنفس خشکی افزایش می‌یابد. دلیل افزایش نشت یونی در اثر خشکی، شروع یک نتش اکسیدانتیو می‌باشد که طی آن چربی‌های غشا پراکسیده گردیده و پایداری غشاء سلول از بین می‌رود (Inze and Montagu 1995). پورموسی و همکاران (Pourmusaviet *et al.* 2006) در بررسی تأثیر تنفس خشکی بر الکتروولیت در مقایسه با نتش ملایم و عدم تنفس خشکی بیشتر بود.

ریشه و کارایی مصرف آب معنی‌دار گردید. برهمکنش آبیاری و ژنتیپ بر صفات مورد مطالعه به جز مقدار پروولین و وزن خشک ریشه اثر معنی‌داری نداشت.

نشت الکتروولیت

مقایسه میانگین‌ها نشان داد که با کاهش آبیاری، مقدار نشت الکتروولیت به طور چشمگیری افزایش می‌یابد. مقدار نشت الکتروولیت از ۵۴۲/۵۸ میکروزیمنس بر متردر سطح آبیاری معمول به ۹۴۱/۲۱ میکروزیمنس بر متر در سطح نشت کاهش یافت (شکل ۱). بهره‌گیری از تعیین نشت الکتروولیت یکی از پرکاربردترین نشانگرهایی است که برای تخمین میزان اثر فرآیندهای تخریب‌گر غشاء در بافت‌های گیاهی تحت تأثیر عوامل نامساعد محیطی مورد استفاده قرار می‌گیرد (Azizpour *et al.* 2010). از این نشانگر برای ارزیابی مقدار تحمل به خشکی در گیاهان مختلف نظریه گندم (Bano and

جدول ۲ خلاصه تجزیه واریانس اثر آبیاری و ژنتیپ و برهمکنش آنها بر صفات مورفوفیزیولوژیک و بیوشیمیایی، وزن خشک ریشه و کارایی مصرف آب چندرقدنده

	میانگین مربعات					منابع تغییر
	پروولین	قرات کلروفیل متر	وزن ویژه برگ	آب نسبی برگ	نشت الکتروولیت	درجه آزادی
۰/۰۱**	۷۷۳/۶۱**	۶/۲۹**	۲۱۷۲/۱۸**	۱۹۰۶۸۲۲/۵۹**	۱	آبیاری
۰/۰۰۱**	۱۲۲/۹۶**	۰/۴۸	۶/۸۲	۷۶۷۴۴/۶۷	۵	ژنتیپ
۰/۰۰۰۶*	۸/۸۸	۰/۰۹	۴۵/۱۹	۶۶۲۸۴/۸۴	۵	آبیاری×ژنتیپ
۰/۰۰۰۲	۷/۹۰	۰/۲۵	۳۶/۷۹	۷۴۴۶۶/۲۸	۳۶	اشتباه
۴۰/۹۶	۵/۶۲	۱۷/۴۴	۸/۶۰	۳۶/۷۸		ضریب تغییرات

* و ** به ترتیب معنی‌دار در سطح احتمال پنج و یک درصد.

ادامه جدول ۲

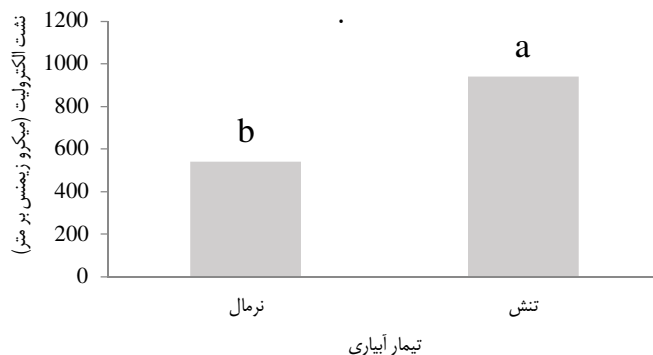
	میانگین مربعات					منابع تغییر
	سوپراکسید دیسموتاز	گلایسین- بتائین	مالون دی‌آلدید	هیدروژن پراکسید	درجه آزادی	
۰/۳۳	۴۹۷۸/۲۲**	۱۷۵/۱۵	۱/۲۳	۱	آبیاری	
۰/۱۶	۹۷/۲۴	۶۷/۳۶	۰/۳۰	۵	ژنتیپ	
۰/۱۶	۳۷/۵۸	۸۱/۱۳	۰/۵۶	۵	آبیاری×ژنتیپ	
۰/۱۹	۱۲۶/۸۷	۴۸/۳۷	۰/۵۲	۳۶	اشتباه	
۳۶/۸۹	۶۶/۱۳	۲۷/۵۹	۲۴/۲۷		ضریب تغییرات	

* و ** به ترتیب معنی‌دار در سطح احتمال پنج و یک درصد.

ادامه جدول ۲

میانگین مربعات		درجه آزادی	منابع تغییر
کارالی مصرف آب (براساس وزن خشک ریشه)	وزن خشک ریشه		
.۰/۴*	۹۵۸/۷۴**	۱	آبیاری
.۰/۱۷**	۱۹۲/۲۲**	۵	ژنتیپ
.۰/۰۱	۴۳/۵۰**	۵	آبیاری×ژنتیپ
.۰/۰۷	۱۰/۹۱**	۸۴	اشتباه

* و ** به ترتیب معنی دار در سطح احتمال پنج و یک درصد

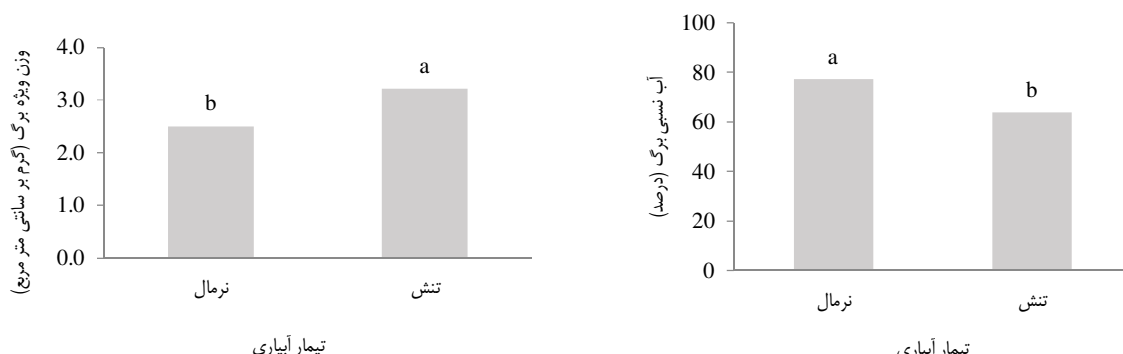


شکل ۱ مقایسه میانگین اثر تیمار آبیاری بر نشت الکتروولیت (حروف a و b نشان دهنده گروههای آماری هستند).

میزان آب نسبی برگ

مقایسه میانگین اثر آبیاری بر وزن ویژه برگ نشان داد که با کاهش آبیاری، وزن ویژه برگ افزایش یافت به طوری که مقدار آن از ۰/۵۰ گرم بر سانتی متر مربع در سطح آبیاری نرمال به ۰/۲۳ گرم بر سانتی متر مربع در سطح تشن رسید (شکل ۳).

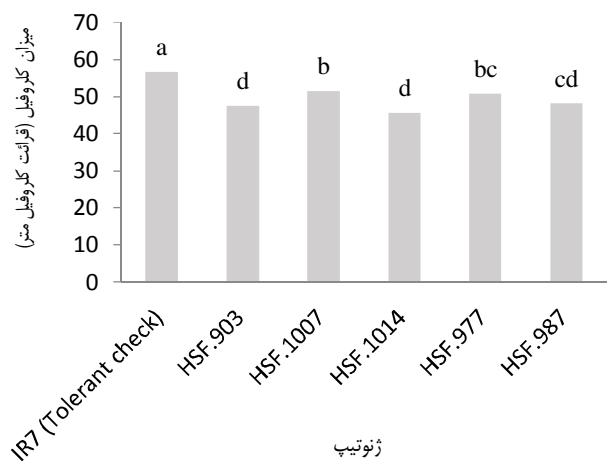
بر اساس نتایج مقایسه میانگین، میزان آب نسبی برگ در تیمار شاهد بسیار بیشتر از سطح تشن بود (به ترتیب برابر با ۷۷/۲۹ و ۶۳/۸۳ درصد) (شکل ۲).



شکل ۳ مقایسه میانگین اثر تیمار آبیاری بر وزن ویژه برگ.
(حروف a و b نشان دهنده گروههای آماری هستند).

شکل ۲ مقایسه میانگین اثر تیمار آبیاری بر میزان آب نسبی برگ
(حروف a و b نشان دهنده گروههای آماری هستند).

نسبت به شاهد به طور متوسط ۱۶ درصد افزایش در مقدار کلروفیل در تیمارهای تحت تنفس نسبت به شاهد رخ داد. گزارش‌هایی وجود دارد که مقدار کلروفیل ارقام متتحمل در شرایط تنفس خشکی کمتر کاسته می‌شود. در برنج، افزایش مقدار کلروفیل در زمان تنفس خشکی در ارقام متتحمل به خشکی گزارش شده است. در جو نیز مقدار کاهش کلروفیل در شرایط تنفس در ارقام مقاوم کمتر از ارقام حساس بود (Li *et al.* 2006). همچنین، نتایج این بررسی با مطالعه اومن و همکاران (Ommen *et al.* 1999) مطابقت دارد. ایشان بیان کردند که با افزایش شدت تنفس خشکی از ۳۰ به ۱۵ درصد ظرفیت زراعی، میزان کلروفیل در برگ‌های گیاه گندم افزایش پیداکرد.

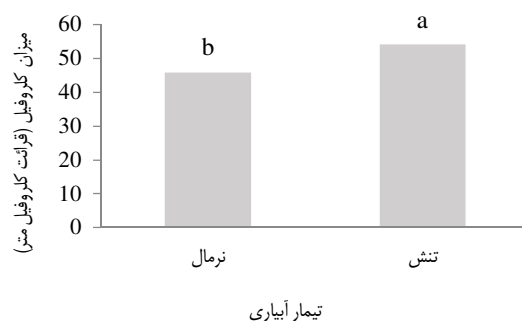


شکل ۵ مقایسه میانگین ژنتیک‌ها از نظر مقدار کلروفیل (حروف a و b نشان دهنده گروههای آماری هستند).

تفییرات ارقام در تیمار تنفس معنی‌دار بود به طوری که بیشترین میزان پرولین در رقم ۶ حاصل شد که با رقم ۴ اختلاف آماری معنی‌داری نداشت (به ترتیب ۰/۰۸ و ۰/۰۶ میلی‌گرم بر گرم وزن‌تر). کمترین میزان پرولین مربوط به رقم ۳ (۰/۰۲ میلی‌گرم بر گرم وزن‌تر) بود که با رقم ۱ (۰/۰۳ میلی‌گرم بر گرم وزن‌تر)

میزان کلروفیل

مقدار کلروفیل با کاهش آبیاری به صورت معنی‌داری افزایش یافت، به طوری که مقدار آن در تیمارهای آبیاری نرمال و تنفس به ترتیب برابر با ۴۶/۰۱ و ۵۴/۰۶ بود (شکل ۴). بیشترین مقدار کلروفیل (۵۶/۶۹) در بین ژنتیک‌ها مربوط به ژنتیک ۱ بود که نسبت به بقیه ژنتیک‌ها در سطح آماری بالاتری قرار گرفت و کمترین میزان آن در ژنتیک ۵ به میزان ۴۵/۵۸ مشاهده شد که با ژنتیک ۶ اختلاف آماری معنی‌داری نداشت (شکل ۵). بر همین اساس، در مطالعه زارع مهرجردی و همکاران (Zare Mehrjerdi 2012) بین ژنتیک‌های مختلف نخود تحت شرایط تنفس خشکی، از نظر مقدار کلروفیل اختلاف معنی‌دار وجود داشت. ایشان مشاهده کردند که در ژنتیک MCC760 با وجود کاهش مقدار کلروفیل a در تیمار ۶- بار

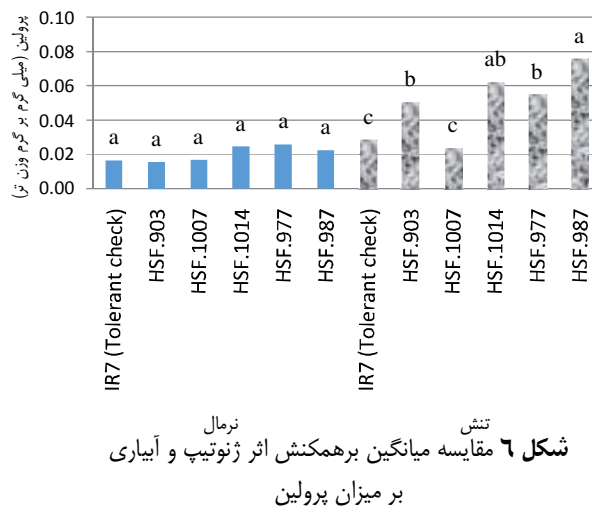


شکل ۶ مقایسه میانگین اثر سطوح آبیاری بر مقدار کلروفیل (حروف a و b نشان دهنده گروههای آماری هستند).

پرولین

با توجه به معنی‌دار شدن برهمکنش آبیاری و رقم برای مقدار پرولین، برای مقایسه میانگین‌ها از برش دهی فیزیکی استفاده شد (شکل ۶). بر این اساس، در آبیاری نرمال اختلاف معنی‌داری بین شش رقم مورد مطالعه مشاهده نشد در حالی که

در طی دو سال متولی تکرار آزمایش وجود داشت بهطوری که تجمع پرولین در شرایط تنش و عدمتنش با هم تفاوت معنی داری داشتند. همچنین، در این مطالعه ژنتیپ های تحت تنش تفاوت معنی داری نشان دادند، در حالی که بر همکنش ژنتیپ و سطح تنش بر خلاف نتایج پژوهش حاضر معنی دار نگردید که می تواند ناشی از شرایط انجام آزمایش و زمان اعمال تنش باشد.



شکل ۶ مقایسه میانگین برهمکنش اثر ژنتیپ و آبیاری بر میزان پرولین

پراکسید هیدروژن، مالون دیآلدئید و سوپراکسید دیسموتاز
بر اساس نتایج جدول تجزیه واریانس، اثر آبیاری، ژنتیپ و بر همکنش آنها بر میزان پراکسید هیدروژن، مالون دیآلدئید و سوپراکسید دیسموتاز معنی دار نبود (جدول ۲). لذا مقایسه میانگین برای این صفات انجام نشد. به نظر می رسد سطح تنش اعمال شده در حدی نبوده است که فعالیت آنتی اکسیدان ها برای مقابله با رادیکال های آزاد اکسیژن را القاء کند و به عبارت دیگر، تنش اکسیداتیو رخ نداده است.

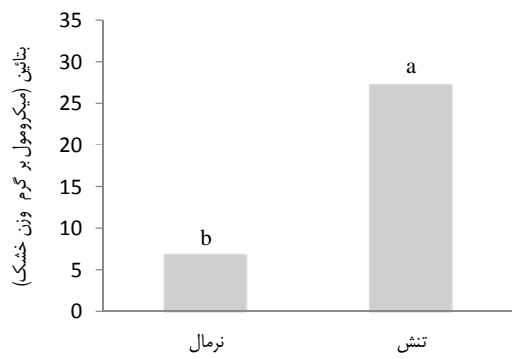
گلایسین- بتائین

مقایسه میانگین اثر آبیاری بر بتائین نشان داد که در تیمار شاهد، میزان بتائین برابر با ۶/۸۵ میکرومول بر گرم وزن خشک است که با کاهش آبیاری به شدت بر میزان بتائین

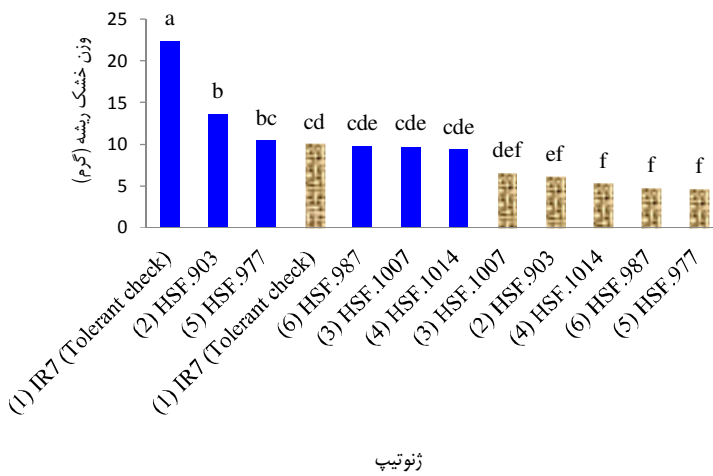
در یک سطح آماری قرار گرفت. به نظر می رسد که در شرایط تنش، میزان تجمع پرولین در ژنتیپ های حساس بیشتر از ژنتیپ های متحمل می باشد. در مطالعه محمدیان و همکاران (Mohammadian *et al.* 2001) نیز بیشترین میزان پرولین در ژنتیپ PC9597 (حساس به خشکی) و کمترین میزان آن در ژنتیپ 7233.P3 (متحمل به خشکی) مشاهده گردید.

تجمع پرولین آزاد یک پاسخ متدائل به تنش در گیاهان عالی می باشد (Cecile *et al.* 1994). سودایی زاده و همکاران (Sodaeizadeh *et al.* 2016) با بررسی تأثیر تنش خشکی بر گیاه مرزه گزارش کردند که بیشترین میزان پرولین مربوط به تیمار ۲۵ درصد و کمترین مقدار آن مربوط به تیمار ۱۰۰ درصد ظرفیت زراعی بود که با سایر تیمارها اختلاف معنی داری داشت. در واقع تجمع پرولین در اثر تنش خشکی یک واکنش عمومی است که به علت ساخت پرولین در بافت ها (Schonfeld *et al.* 1988)، ممانعت از اکسیداتیو پرولین و بازداری از شرکت پرولین در ساخت پروتئین ها صورت می گیرد (Pedrol *et al.* 2000). ممنوعی و سید شریفی (Mamnouei and Seyedsharifi 2010) در مطالعه بررسی تنش خشکی بر شش ژنتیپ جو نشان دادند که با افزایش سطوح تنش، مقدار پرولین افزایش یافت، به طوری که ارقامی که در تیمار آبیاری کافی قرار گرفتند، با میانگین ۴۳/۵۷ میکرو گرم وزن تر، کمترین مقدار پرولین را داشتند، در حالی که در تیمار تنش شدید با میانگین ۱۵۲ میکرو گرم بر گرم وزن تر، بیشترین مقدار را نشان دادند. تجمع پرولین در بافت های گیاهی تحت شرایط تنش آبی به عنوان مکانیسمی در جهت حفظ فشار تورگر سلول، جذب آب و تحمل به خشکی در بسیاری از گیاهان زراعی گزارش شده است (Blum and Ebercon 1976; Heuer 1993). در مطالعه محمدیان و همکاران (Mohammadian *et al.* 2001) در بررسی تنش خشکی بر ژنتیپ های چند رقند مشاهده گردید که ۳۰ و ۳۶ درصد افزایش در غلظت پرولین برگ در شرایط تنش به ترتیب

صفت (۴/۶۵ گرم) متعلق به ژنوتیپ ۵ بود. وزن خشک ریشه در این ژنوتیپ با ژنوتیپ‌های ۲، ۳، ۴ و ۶ اختلاف معنی‌دار نداشت (شکل ۸).



شکل ۷ مقایسه میانگین اثر آبیاری بر میزان بتائین.
(حروف a و b نشان دهنده گروه‌های آماری هستند.)



شکل ۸ مقایسه میانگین وزن خشک ریشه ژنوتیپ‌ها (حروف بالای ستون‌ها نشان دهنده گروه‌های آماری هستند. ستون‌های توپر و هاشور خورده به ترتیب شرایط نرمال و تنش را نشان می‌دهند).

کارایی مصرف آب

کارایی مصرف آب (براساس وزن خشک ریشه) در سطح آبیاری نرمال بسیار بیشتر از سطح تنش بود و از ۰/۹۴ به ۰/۸۱ گرم بر کیلوگرم کاهش یافت (شکل ۹). بیشترین کارایی مصرف آب ریشه (۱/۴۹ گرم بر کیلوگرم) در ژنوتیپ

افزوده شد به طوری که به ۲۷/۲۲ میکرومول بر گرم وزن خشک رسید (شکل ۷). گیاهان در مواجهه با تنش خشکی، واکنش‌های متفاوتی از خود بروز می‌دهند. یکی از رایج‌ترین این واکنش‌ها سنتز و تجمع ترکیب‌هایی با وزن مولکولی کم به نام حفاظت‌کننده‌های اسمزی است. این ترکیبات، پتانسیل اسمزی درون سلول‌ها را کاهش می‌دهند و به حفظ تورژسانس سلولی کمک می‌کنند. یون‌های غیرآلی، یون‌های آلی، کربوهیدرات‌های محلول شامل پلی‌ئول‌ها (قندها و الکل)، اسیدهای آمینه (پرولین) و ترکیبات آمونیوم چهارگانه نظری گلاسینین- بتائین از جمله حفاظت‌کننده‌های اسمزی هستند که در شرایط تنش رطوبتی، در سلول‌های گیاهی تجمع می‌یابند (Soltani Gardfaramarzi *et al.* 2011) به طور کلی در کلروپلاست و به فراوانی یافت شده و نقش حیاتی در تنظیم و حفاظت از تیلاکوئید و حفظ راندمان فتوسنتز در گیاهان عالی دارد. این ماده به عنوان یک اسمولیت سیتوپلاسم، آنزیم‌ها و غشاها را از آثار پسایدگی حفظ می‌کند. تجمع گلاسینین- بتائین در پاسخ به تنش، در بسیاری از گیاهان، از جمله چندرقند، اسفناج، جو، گندم و سورگوم ثابت شده است. مطالعات آزمایشگاهی نشان داده است که گلاسینین- بتائین منجر به افزایش پایداری دیواره سلولی در مقابل آثار سوء تنش‌های محیطی مانند تنش شوری، سرما و گرما می‌شود (Gorham *et al.* 2000; Teimoori *et al.* 2011) آزمایش خیرخواه و همکاران (Kheirkhah *et al.* 2016) نشان داد که ماده‌ی گلاسینین- بتائین در شرایط تنش خشکی دارای اثرات مثبت خود تنش برای چندرقند می‌باشد.

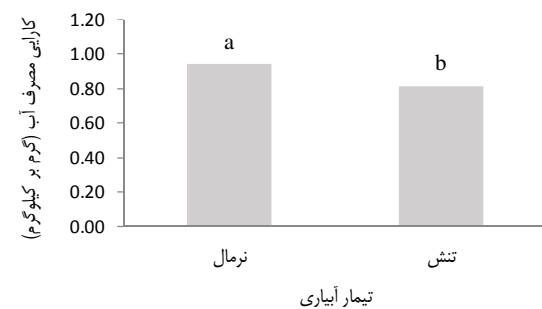
وزن خشک ریشه

میانگین وزن خشک ریشه از ۱۲/۵۱ گرم در آبیاری نرمال به ۶/۲۰ گرم در تیمار تنش کاهش یافت. بیشترین وزن خشک ریشه (۲۲/۳۲ گرم) در ژنوتیپ ۱ مشاهده شد که با همه ژنوتیپ‌ها اختلاف بسیار معنی‌داری داشت. کمترین میزان این

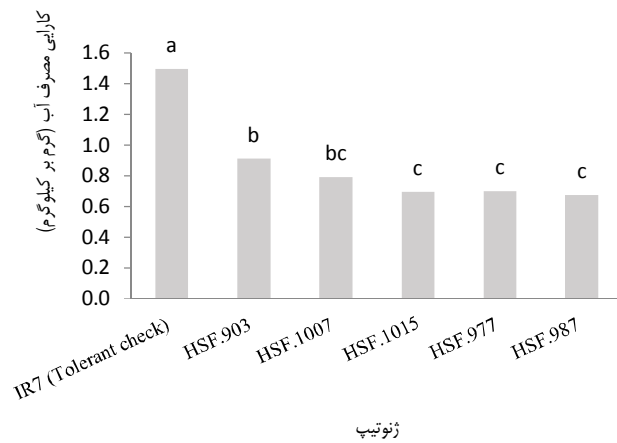
بین ژنوتیپ‌ها از نظر وزن خشک ریشه، کارایی مصرف آب، میزان کلروفیل و میزان پرولین برگ تنوع ژنتیکی وجود داشت. رقم IR7 توانست تحت شرایط تنش بیشترین وزن خشک ریشه را به خود اختصاص دهد. گیاه در مواجهه با تنش با افزایش وزن ویژه برگ، میزان کلروفیل، پرولین و بتائین با خشکی مقابله نمود. بیشترین میزان کلروفیل در ژنوتیپ ۱ و بیشترین مقدار پرولین در ژنوتیپ ۶ مشاهده گردید. از این رو به نظر می‌رسد که در شرایط تنش، ژنوتیپ ۱ از طریق تغییرات فیزیولوژیکی و ژنوتیپ ۶ از طریق تجمع اسمولیت‌ها به تنش کم آبی واکنش نشان می‌دهند. از میان آنتی اکسیدان‌ها، بتائین بیش از بقیه در ژنوتیپ‌های مورد مطالعه توانست در جهت مهار رادیکال‌های مخرب نقش ایفا نماید.

با توجه به نتایج بهدست آمده در پژوهش حاضر در ارتباط با ظرفیت آنتی اکسیدانی ژنوتیپ‌ها تحت شرایط تنش، نظر می‌رسد با کاهش مقدار آب نسبی برگ در شرایط تنش، بر ظرفیت مهار رادیکال‌های آزاد در برگ‌ها افزوده می‌شود. در این شرایط، به دلیل وجود این همبستگی منفی، نمی‌توان برآورد مناسبی از تأثیر مثبت تولید آنتی اکسیدان‌ها بر تحمل به تنش ارائه داد زیرا گیاهانی که در شرایط تنش خشکی از مکانیسم‌های اجتناب مناسب برخوردار می‌باشند، با تنش کمتری مواجه شده و در نتیجه از ظرفیت آنتی اکسیدانی کمتری نیز برخوردار می‌باشند. برای بررسی تأثیر تولید آنتی اکسیدان‌ها در تحمل به خشکی ژنوتیپ‌ها باید شرایط تنش خشکی یکنواخت و یکسانی را در برگ‌های تمام ژنوتیپ‌ها به وجود آورد.

(IR7 شاهد متحمل) مشاهده شد که با همه ژنوتیپ‌ها اختلاف بسیار معنی‌داری داشت. کمترین میزان این صفت متعلق به ژنوتیپ ۶ (HSF-987) بود که برابر ۰/۶۷ گرم بر کیلوگرم بود (شکل ۱۰).



شکل ۹ مقایسه میانگین کارایی مصرف آب (براساس وزن خشک ریشه) در دو تیمار آبیاری (حروف بالای ستون‌ها نشان دهنده گروه‌های آماری هستند).



شکل ۱۰ مقایسه میانگین کارایی مصرف آب ژنوتیپ‌ها برای وزن خشک ریشه (حروف بالای ستون‌ها نشان دهنده گروه‌های آماری هستند)

نتیجه‌گیری

در این تحقیق، تنش خشکی منجر به کاهش معنی‌دار وزن خشک ریشه، کارایی مصرف آب ریشه، آب نسبی برگ و افزایش معنی‌دار وزن ویژه برگ، نشت الکترولیت، میزان کلروفیل برگ (قراءت کلروفیل متر)، میزان پرولین و بتائین شد.

منابع مورد استفاده:

References:

- Ambika Rajendran R, Muthiah AR, Manickam A, Shanmugasundaram P, Joel AJ. Indices of drought tolerance in sorghum (*Sorghum bicolor* L. Moench) genotypes at early stages of plant growth. Res. J. Agric. Biol. Sci. 2011; 7: 42-46.
- Azizpour K, Shakiba MR, KhoshKholgSima NA, Alyari H, Mogaddam M, Esfandiari E, Pessarakli M. Physiological response of spring durum wheat genotypes to salinity. J. Plant Nutr. 2010; 33: 859-873.
- Baiat H, Mardani H, Arooei H, Selahvarzi Y. Effect of Salisilic acid on morphophysiological traits of seedlings of cucumber (*Cucumis sativus* cv. Super Dominus) under drought stress condition. Journal of Plant Production Research. 2011; 18(3): 63-67.
- Bates LS, Waldren RP, Teare ID. Rapid determination of free proline for waterstress studies. Plant Soil. 1973; 39: 205-207.
- Blum A, Ebercon A. Genotypic response in Sorghum to drought stress, free prolin accumulation and drought resistance, Crop Science. 1976; 16: 428-431.
- Cattivelli L, Rizza F, Badeck FW, Mazzucotelli E, Mastrangelo AM, Francia E, Mare C, Tondelli A, Stanca AM. Drought tolerance improvement in crop plants: An integrated view from breeding to genomics. Field Crops Res. 2008. 105: 1-14.
- Cecile B, Patrick C, Chavargieff P. Light stress and oxidative cell damage in photoautotrophic cell suspension of *Euphorbia characias*. Plant Physiology. 1994; 106: 941-946.
- Farooq M, Wahid A, Kobayashi N, Fujita D, Basra SMA. Plant drought stress: Effects, mechanisms and management. Agron. Sustain. Dev. 2009; 29: 185-212.
- Gorham J, Jokinen K, Malik MNA, Khan IA. Glycine betaine treatment improves cotton yields in field trials in Pakistan. Proceedings of the World Cotton Research Conference II, Athens, Greece. 2000.
- Hashemi GR, Farnia A, Rahnamaeian M, Shaban M. Changes in carbohydrates and sugar yield in sugar beet (*Beta vulgaris* L.) under different biofertilizers and irrigation closed time, International Journal of Advanced and Biomedical Research. 2014; 2 (8), 2350-2355.
- Heuer B. Osmoregulatory role of proline in water and salt stressed plants. In: Pessarakli M, editor. Handbook of plant and crop stress. Marcel Dekker Inc, USA. 1993; 363-379.
- Ilikaei MN, Habibi D, Foroozesh P, Taleghani DF, Rajabi A, Orojnia S, Davoodifar M. Study on quantitative and qualitative traits of different sugar beet genotypes under drought stress condition. Journal of Agronomy and Plant Breeding. 2012; 8(4): 127-144.
- Inze D, Van Montagu M. Oxidative stress in plants. Curr. Opin. Biotechnol. 1995; 6: 153-158.
- Iqbal S, Bano A. Water stress induced changes in antioxidant enzymes, membrane stability and seed protein profile of different wheat accessions. Afrcan. J. Biotechnol. 2009; 8: 6576-6587.

- Kheirkhah M, Farazi M, Dadkhah ER, Khoshnood Yazdi A. Use of Glycine, Tiofol and Salycilic acid in sugar beet (*Beta vulgaris L.*) under water deficit conditions. *Journal of Crop Ecophysiology*. 2016; 10(1): 167-182.
- Layegh Khodyeki SHE, Lahooti M, Abbassi F. Comparative study on effect of drought stress on the rate of proline changes in *Salvia leeiifolia* in soil culture medium and *In-vitro*. *Journal of Biosciences*. 2010; 12(4): 105-115.
- Li RH, Guo PG, Michael B, Stefania G, Salvatore C. Evaluation of chlorophyll content and fluorescence parameters as indicators of drought tolerance in barley. *Agric. Sci. China*. 2006; 5: 751-757.
- Loreto F, Velikova V. Isoprene produced by leaves protects the photosynthetic apparatus against ozone damage, quenches ozone products, and reduces lipid peroxidation of cellular membranes. *Plant Physiology*. 2001; 127:1781-1787.
- Mamnouei A, Seyedsharifi R. Study on effect of water deficit on chlorophyll fluoresense and proline content in six barley genotypes and its relation with canopy temperature and yield. *Plant Biology*. 2010; 2(5): 51-62.
- Masoumi E, Kafi M, Nabati J, Khazaei HR, Davari K, Zare Mehrjerdi M. Effect of drought stress on leaf water status and electrolyte leakage, photosynthesis and chlorophyll fluoresense at different growth stages of two Koshia (*Kochia scoparia*) populations under salt stress condition *Iranian Journal of Field Crops Research*. 2012; 10(3): 476-484.
- Meloni DA, Oliva MA, Martinez CA, Cambraia J. Photosynthesis and activity of superoxide dismutase, peroxidase and glutathione reductase in cotton under salt stress. *Environ. Exp. Bot.* 2003; 49: 69-76.
- Mohammadian R, Khoyi FR, Rahimian H, Moghaddam M, Ghassemi-GolezaniK, Sadeghian SY. The effect of early season drought on stomatal conductance, leaf-air temperature difference and proline accumulation in sugar beet genotypes. *J. Agri. Sci. Techno.* 2001; 3: 181-193.
- Moussa HR. Influence of exogenous application of silicon on physiological response of salt stressed Maize (*Zea mays L.*). *International Journal of Agriculture and Biology*. 2006; 8 (2): 293-297.
- Ober ES, Luterbacher MC. Genotypic variation for drought tolerance in *Beta vulgaris*. *Annals of Botany*. 2002; 89: 917-924.
- Ober ES, Bloa, ML, Clark CJA, Royal A, Jaggard KW, Pidgeon JD. Evaluation of physiological traits as indirect selectioncriteria for drought tolerance in sugar beet. *Field Crops Research*. 2005; 91:231-249.
- Ojani S, Habibi D, Taleghani DF, Safari Dolatabadi SA, Pazooki S, Moazeni M, Rahimi R, Farshidi M. Evaluation of yield and yield components of sugar beet genotypes under drought stress condition. *Journal of Agronomy and Plant Breeding*. 2012; 8(1): 127-144.
- Ommen OE, Donnelly A, Vanhoutvin S, Vanoijen M, Manderscheid R. Chlorophyll content of spring wheat flag leaves grown under elevated CO₂ concentration and other environmental stress within 'ESPACE-Wheat' project. *Euro. J. Agron.* 1999; 10: 197-203.

- Pedrol N, Ramos P, Riegosa MJ. Phenotypic plasticity and acclimation to water deficits in velvet-grass: a long-term greenhouse experiment. Changes in leaf morphology, photosynthesis and stress-induced metabolites. *Plant Physiology*. 2000; 157: 383-393.
- Peymaneh Z, Zarei M, Ronaghi A.H. Effect of *Glomus musei* fungus on root dry matter yield, proline, protein and nitrogen uptake in the root of Raflemon and sour orange under drought stress condition. First National Conference on Approaches to Achieve Sustainable Development in Agriculture, Natural Resources and Environment. 2013; 1-5.
- Pourmusavi SM, Galvi M, Daneshian J. Effect of manure on cell membrane stability and chlorophyll content of soybean in drought stress condition. 2006. Proceedings of the 9th Iranian Agronomy and Breeding Sciences Congress, Aboureihan Campus, University of Tehran.
- Rajabi A, Ranji Z, Ahmadi M, Khorshid, AM. Management of drought stress in sugar beet. In: Taleghani DF, Sadeghzadeh Hemayati S, Mesbah M, editors. Strategic Framework for Sugar Beet Research. 2013; 127-134.
- Sayfzadeh S, Rashidi M. Response of antioxidant enzymes activities of Sugar Beet to drought stress. ARPN Journal of Agricultural and Biological Science. 2011; 6(4):27-33.
- Schonfeld MA, Johnson RC, Carver BF, Mornhinweg DW. Water relation in winter wheat as drought resistance indicators. *Crop Science*. 1988; 28:526-531.
- Shaw B, Thomas TH, Cooke DT. Responses of sugar beet (*Beta vulgaris* L.) to drought and nutrient deficiency stress, Plant Growth Regulation. 2002;37:77-83.
- Shiferaw B, Baker DA. An evaluation of drought screening techniques for Eragrostis tef. *Tropical Science*. 1996; 36: 74-85.
- Sodaeizadeh H, Shamasaei M, Tajamolian M, Mirmohammadi Meibodi SEM, Hakimzadeh ME. Study on effect of drought stress on some morphophysiological traits of savory (*Satureja hortensis*). *Journal of Plant Process and Function*. 2016; 5(15): 1-12.
- Soltani Gardfaramarzi MK, Omidi H, Habibi H, Lebschi MH, Zarezadeh E. Study on effects of different rates of glycine-betaine on morphological traits and yield of chamomile varieties (*Matricaria chamomila* L.) under drought stress in Yazd, Iran. *Journal of Iranian Aromatic and Medicinal Plants Research*. 2011; 27(2); 289-297.
- Stewart BA, Musick JT, Dusek DA. Yield and water use efficiency of grain Sorghum in a limited irrigation_dryland farming system. *Agronomy Journal*. 1983; 75: 629-634.
- Taleghani DF, Mohammadian R, Sadeghzadeh Hemayati S. Autumn sugar beet, Guidelines for sowing, husbandry and harvest. Agriculture Research, Education and Extension Organization, Sugar Beet Seed Institute, Karaj, Iran. 2014; 89 pp.
- Teimoori M, Abdollahi Maivan M, Nezhadhsan B, Geraei P. Study of drought index pattern in Iran. First National Conference of Drought and Climate Change. Research Center for Water Shortage and Drought in Agriculture and Natural Resources, Iran. 2011; 883-888.

Yadava U.A rapid and nondestructive method to determine chlorophyll in intact leaves.Horticulture Science.1989; 21: 1449-1450.

Zare Mehrjerdi M, Bagheri EA, Bahrami AR, Nabati J, Masoumi E. Effect of Drought stress on photosynthetic characters, phenolic compounds and capacity of suppression of reactive radicals in different cheackpea genotypes (*CicerarietinumL.*) in hydoponic culture. Journal of Science and Technology of Greenhouse Cultures. 2012; 3(12): 59-76.

Zarei M, Peymaneh Z, Ronaghi EH, Kamgar Hghighi EA, Shahsavar ER. Effect of Mycoriza arbuscular fungus on growth and physiological parameters of Raflemon root-stock under water stress condition.Journal of Water and Soil (Agricultural Sciences and Indusctries). 2013; 27(3): 485-494.